

DOI: <https://doi.org/10.30898/1684-1719.2023.2.5>

УДК: 537.876.22

## О ВЛИЯНИИ ДИСПЕРСИИ ПОГЛОЩЕНИЯ НА ВРЕМЕННУЮ ЗАВИСИМОСТЬ ГОЛОНОМНОГО УЗКОПОЛОСНОГО СИГНАЛА ВДАЛИ ОТ ТОЧКИ ИЗЛУЧЕНИЯ

Н.С. Бухман, А.В. Куликова

Самарский государственный технический университет,  
443100, Самара, ул. Молодогвардейская, д.244

Статья поступила в редакцию 16 января 2023 г.

**Аннотация.** Хорошо известно, что при распространении узкополосного сигнала в любой среде при достаточной протяженности трассы неизбежно начинается деформация амплитудно-частотного спектра сигнала из-за дисперсии коэффициента поглощения среды, то есть из-за зависимости коэффициента поглощения от частоты. Поэтому временная зависимость сигнала «на бесконечности» существенно зависит не только от дисперсии вещественного показателя преломления, но и от дисперсии поглощения. В данной работе рассмотрено искажение узкополосного голономного сигнала в однородной диспергирующей среде (на примере слабостолкновительной плазмы) с учетом дисперсии поглощения. Оказывается, что дисперсия поглощения по-разному проявляется для разных типов голономных сигналов – для голономных сигналов с ограниченным спектром (спектр которых тождественно равен нулю вне некоторого спектрального интервала) и для голономных сигналов с неограниченным спектром (спектр которых не обращается в ноль с ростом частоты). Показано, что для голономных сигналов с неограниченным стартовым спектром дисперсия поглощения с ростом протяженности трассы приводит к сдвигу частоты несущей в сторону меньшего поглощения и к нормализации

интенсивности спектра – а, следовательно, и к нормализации временной зависимости сигнала, который на бесконечности становится гауссовым. При этом сигнал продолжает оставаться узкополосным. Для голономных сигналов с ограниченным спектром дисперсия поглощения приводит к сужению спектра, «прижимающегося» к границе исходного спектра сигнала. При этом, как и в случае сигналов с неограниченным спектром, тоже происходит «универсализация» временной зависимости сигнала, но теперь временная зависимость произвольного сигнала оказывается не гауссовой, а «лоренцевой».

**Ключевые слова:** дисперсия, поглощение, искажение, нормализация, узкополосный сигнал, распространение радиоволн, распространение электромагнитных волн.

**Автор для переписки:** Бухман Николай Сергеевич, [nik3142@yandex.ru](mailto:nik3142@yandex.ru)

## Введение

Рассмотрим распространение сигнала  $E(z, t)$  с частотой несущей  $\omega_1$  и комплексной огибающей  $A(z, t)$  в однородной изотропной среде вдоль оси  $z$ . Предполагая, что сигнал является узкополосным (то есть ширина спектра сигнала мала в сравнении с частотой несущей  $\omega_1$  [1,2]), имеем:

$$E(z, t) = \int_{-\infty}^{+\infty} E_{\omega}(z, \omega) \exp(-i\omega t) d\omega, \quad (1)$$

$$E_{\omega}(z, \omega) = (2\pi)^{-1} \int_{-\infty}^{+\infty} E(z, t) \exp(i\omega t) dt, \quad (2)$$

$$E(z, t) = A(z, t) \exp(-i\omega_1 t) + A^*(z, t) \exp(i\omega_1 t), \quad (3)$$

$$A(z, t) = \int_{-\infty}^{+\infty} A_{\Omega}(z, \Omega) \exp(-i\Omega t) d\Omega, \quad (4)$$

$$A_{\Omega}(z, \Omega) = (2\pi)^{-1} \int_{-\infty}^{+\infty} A(z, t) \exp(i\Omega t) dt, \quad (5)$$

$$E(z, \omega) = A(z, \omega - \omega_1) + (A(z, -(\omega + \omega_1)))^*, \quad (6)$$

здесь  $E(z, t)$  и  $E_{\omega}(z, \omega)$  – высокочастотный сигнал и его спектр,  $A(z, t)$  и  $A_{\Omega}(z, \Omega)$  – низкочастотная комплексная огибающая сигнала и ее спектр.

Обозначим спектр комплексной огибающей сигнала в начальной точке  $z = 0$  как  $A_{\Omega}^{(0)}(\Omega) \equiv A_{\Omega}(0, \Omega)$ . Тогда для огибающей сигнала в произвольной точке имеем:

$$\begin{aligned} A(z, t) &= \int_{-\infty}^{+\infty} A_{\Omega}^{(0)}(\Omega) \exp(ik(\omega_1 + \Omega)z) \exp(-i\Omega t) d\Omega = \\ &= \int_{-\infty}^{+\infty} [A_{\Omega}^{(0)}(\Omega) \exp(-k_i(\omega_1 + \Omega)z)] \exp[i(k_r(\omega_1 + \Omega)z - \Omega t)] d\Omega, \end{aligned} \quad (7)$$

где  $k(\omega) = (\omega/c)n(\omega) = k_r(\omega) + ik_i(\omega)$  – комплексное волновое число для волны с частотой  $\omega$ ,  $n(\omega)$  – показатель преломления среды (в общем случае комплексный).

В данной работе мы рассматриваем распространение узкополосного сигнала в слабо поглощающей среде, причем нас интересует его поведение достаточно далеко от точки старта ( $z = 0$ ), то есть при выполнении условия  $z \rightarrow \infty$ . Предположим, что выполнены следующие условия:

- 1) Поглощение на длине волны мало ( $k_i \ll k_r$ ).
- 2) Сигнал является узкополосным не только «вообще» (то есть ширина спектра сигнала  $\Omega_{sig}$  мала в сравнении с частотой несущей,  $\Omega_{sig} \ll \omega_1$ ), но и «для данной среды» (в пределах спектра сигнала показатель преломления среды меняется мало,  $\Omega_{sig} \ll \omega_{med}$ , где

$\omega_{med}$  – расстояние по комплексной плоскости от частоты несущей до ближайшей особенности волнового числа на комплексной плоскости). Это последнее условие обычно выполняется для любых «узкополосных вообще» сигналов «само собой» – например, при распространении электромагнитной волны в плазме достаточно, чтобы ширина спектра сигнала была мала не только в сравнении с частотой несущей («узкополосность вообще»), но и в сравнении с отстройкой частоты несущей от плазменной частоты («узкополосность для данной среды»).

- 3) Сигнал не является шумоподобным [3] в точке старта, то есть его база (произведение длительности на ширину спектра) в точке старта порядка единицы.
- 4) Протяженность трассы  $z$  достаточно велика, то есть выполнено условие:

$$z \gg z_2 = 2 / (k_r''(\omega_1) \Omega_{sig}^2) . \quad (8)$$

В [2] эта область называется дальней зоной, но мы (после неоднократной критики) используем термин «асимптотическая зона», поскольку термин «дальняя зона» уже занят в теории антенн. Сразу отметим, что в асимптотической зоне длительность сигнала велика в сравнении с его стартовой длительностью; в результате база сигнала оказывается велика в сравнении с 1 и, формально, сигнал в асимптотической зоне оказывается шумоподобным.

В данной работе мы рассматриваем вопрос о том, что же происходит с узкополосным сигналом «в конце концов», при неограниченном увеличении протяженности трассы, поэтому нас интересует именно вопрос о поведении сигнала в асимптотической зоне.

В [4] показано, что при выполнении этих условий для интенсивности сигнала справедлива асимптотическая формула<sup>1</sup>

---

<sup>1</sup> Подчеркнем, что несмотря на то, что «генетически» формула (9) получена во втором приближении классической теории дисперсии [1], она оказывается справедлива на любом

$$I(z, t) = \frac{2\pi}{|k_r''(\omega_1)z|} I_{\Omega} \left( \frac{t_s(z)}{k_r''(\omega_1)z}, z \right) \quad (9)$$

В этой формуле  $I(z, t) = |A(z, t)|^2$  – временная зависимость интенсивности сигнала в данной точке трассы  $z$ ,

$$I_{\Omega}(\Omega, z) = I_{\Omega}^{(0)}(\Omega) \exp(-2k_i(\omega_1 + \Omega)z) \quad (10)$$

– интенсивность спектра испытывающего селективное по частоте поглощение

сигнала в данной точке трассы  $z$ ,  $I_{\Omega}^{(0)}(\Omega) \equiv I_{\Omega}(\Omega, 0) = |A_{\Omega}^{(0)}(\Omega)|^2$  – стартовая интенсивность спектра сигнала в точке  $z = 0$ ,

$$t_s(z) = t - k_r'(\omega_1)z \quad (11)$$

– «сдвинутое» на время групповой задержки  $[1,2] k_r'(\omega_1)z$  время.

При выполнении противоположного условию (8) условия:

$$z \ll z_2 = 2/(k_r''(\omega_1)\Omega_{sig}^2) \quad (12)$$

мы оказываемся в области применимости первого приближения классической теории дисперсии [1,2] (оно же – приближение группового времени задержки) и в случае несущественности дисперсии поглощения (см. ниже) имеем вместо (9):

$$I(z, t) = I^{(0)}(t_s(z)) \exp(-2k_i(\omega_1)z), \quad (13)$$

где  $I^{(0)}(t) \equiv I(0, t) = |A^{(0)}(t)|^2$  – стартовая временная зависимость

интенсивности сигнала в точке  $z = 0$ . Область  $z \ll z_2$  обычно [2] именуется ближней зоной; в этой области временная зависимость интенсивности сигнала отличается от стартовой только временным сдвигом и экспоненциальным ослаблением сигнала.

сколь угодно большом расстоянии от стартовой точки [4], а не только при выполнении условия

$$z_2 = 2/(k_r''(\omega_1)\Omega_{sig}^2) \ll z \ll z_3 = 6/(k_r'''(\omega_1)\Omega_{sig}^3).$$

Следует различать поглощение само по себе и дисперсию коэффициента поглощения. Очевидно, что при выполнении условия:

$$z \ll z_{abs} = 1/(2k_i' \Omega_{sig}), \quad (14)$$

где  $\Omega_{sig}$  – ширина спектра сигнала, можно не учитывать дисперсию коэффициента поглощения и положить в (10)

$I_{\Omega}(\Omega, z) = I_{\Omega}^{(0)}(\Omega) \exp(-2k_i(\omega_1)z)$ , что возвращает нас к случаю непоглощающей среды с единственным отличием – сигнал экспоненциально затухает с ростом длины трассы. В этом случае в асимптотической области (в том числе на бесконечном удалении от точки старта) временная зависимость интенсивности сигнала совпадает (в некотором масштабе) с интенсивностью спектра сигнала в стартовой точке трассы [2].

Тем не менее в любой поглощающей среде условие (14) рано или поздно начинает нарушаться, что приводит к деформации спектра интенсивности сигнала и его искажению. Эти искажения и являются основным объектом изучения в данной работе.

При распространении сигнала в среде с дисперсией поглощения при увеличении протяженности трассы происходит одновременно деформация и фазовой, и амплитудной зависимости его спектра от частоты. Деформация фазы спектра становится существенной при выполнении условия

$z \geq z_2 = 2/(k_r''(\omega_1)\Omega_{sig}^2)$  (асимптотическая зона), а деформация интенсивности спектра – при выполнении условия  $z \geq z_{abs} = 1/(2k_i' \Omega_{sig})$  (зона дисперсии поглощения). Ясно, что характер распространения сигнала определяется соотношением между параметрами  $z_2$  и  $z_{abs}$ .

В случае  $z_2 \ll z_{abs}$  сначала (при  $z \ll z_{abs}$ ) распространение сигнала происходит практически так же, как в среде без поглощения [4] – при  $z \ll z_2$  сигнал распространяется с групповой скоростью почти без искажений, при

$z \approx z_2$  происходит его перестройка, при  $z_2 \ll z \ll z_{abs}$  временная зависимость его интенсивности начинает (в некотором масштабе) совпадать с интенсивностью его стартового спектра и лишь затем (при  $z \geq z_{abs}$ ) начинается деформация сигнала за счет деформации интенсивности его спектра. В случае же  $z_2 \geq z_{abs}$  сигнал еще в ближней зоне попадает в «зону дисперсии поглощения», и «классическая» асимптотическая зона сформироваться не успевает. Вопрос о том, к асимптотической или к ближней зоне относится распространение сигнала в «зоне дисперсии поглощения», приходится решать отдельно. Дело в том, что в зоне дисперсии поглощения деформация интенсивности спектра приводит к изменению его спектральной ширины, которая начинает зависеть от протяженности трассы

( $\Omega_{sig} = \Omega_{sig}(z)$ ); в результате равенства типа  $z_2 = 2/(k_r''(\omega_1)\Omega_{sig}^2(z_2))$  становятся уравнениями, которые приходится решать, причем результат этого решения в разных случаях может быть разным (см. ниже).

## 1. Голономные сигналы

Как выяснится в дальнейшем, существенное влияние на эволюцию сигнала в области дисперсии коэффициента поглощения оказывает характер уменьшения спектра сигнала при удалении частоты от частоты несущей. В этом отношении все сигналы распадаются на два качественно различных типа – голономные и кусочно-голономные сигналы. Голономными сигналами вслед за [2] мы будем именовать сигналы, огибающая которых представляет собой голономную (аналитическую) функцию на всей вещественной оси, а кусочно-голономными [5] – сигналы, огибающая которых является голономной функцией только на некотором интервале вещественной оси и равна нулю вне этого интервала.

Как показано в [6], спектр кусочно-голономных сигналов с удалением от частоты несущей затухает крайне медленно – по «дальнодействующему» гиперболическому закону  $A_{\Omega}^{(0)}(\Omega) \sim \Omega^{-(n+1)}$ , где  $n$  – наименьший порядок

производной огибающей, испытывающей разрыв на начальном или конечном фронте сигнала (если разрыв испытывает сама огибающая, то  $n = 0$ ). Спектр же голономного сигнала, по определению не имеющего разрывов производных огибающей любого порядка) с удалением от частоты несущей затухает существенно быстрее – по крайней мере быстрее, чем  $\sim \Omega^{-(n+1)}$ , где  $n$  – любое сколь угодно большое целое число. Действительно, наличие в асимптотике спектра огибающей сигнала члена  $\sim \Omega^{-(n+1)}$  в соответствии с [6] означало бы разрыв производной порядка  $n$  огибающей сигнала, что для голономного сигнала невозможно по определению при любом  $n$ .

К сожалению, ничего более конкретного о спектре произвольного голономного сигнала сказать не удастся (см. [7, с. 155]), поэтому складывается впечатление, что спектр произвольного голономного сигнала при удалении от частоты несущей уменьшается по крайней мере не медленнее, чем по закону:

$$A_{\Omega}^{(0)}(\Omega) \sim \exp(-C|\Omega^{\alpha}|), \quad (15)$$

где  $C, \alpha$  – произвольные положительные числа. В принципе, могут быть, возможны и другие типы голономных сигналов с неограниченным спектром, но авторам они не известны.

В данной работе мы рассмотрим два возможных типа голономных сигналов – голономные сигналы с неограниченным спектром (спектр которых не ограничен со стороны высоких частот (15)) и голономные сигналы с ограниченным спектром (спектр которых ограничен со стороны высоких частот). Амплитудный спектр голономных сигналов с неограниченным спектром в процессе распространения в среде, поглощение в которой с ростом частоты стремится к нулю, в принципе может сдвигаться в сторону высоких частот [2] и, как показано ниже, именно это и делает. В результате при достаточной протяженности трассы такие сигналы «нормализуются» – формируется узкополосный гауссов сигнал с частотой несущей, все больше сдвигающейся в сторону высоких частот с ростом протяженности трассы.



Голономные сигналы с ограниченным спектром такой возможности лишены. Поэтому с ростом протяженности трассы происходит неограниченное сужение их спектра с приближением частоты несущей таких сигналов к максимальной присутствующей в их спектре частоте. Происходит их «колоколизация» – временная зависимость их интенсивности приближается к лоренцевой кривой.

## 2. Голономные сигналы с неограниченным спектром

В качестве конкретного примера голономного сигнала с неограниченным спектром рассмотрим распространение «лоренцева» сигнала с несущей частотой  $\omega_1$  и характерной длительностью  $T_{lor}$  в слабостолкновительной плазме с плазменной частотой  $\omega_p$  и эффективной частотой столкновений  $\nu$ . В этом случае комплексная огибающая, спектр сигнала и интенсивность его спектра в стартовой точке (с максимумом спектра при  $\Omega = \omega - \omega_1 = 0$  и полушириной спектра около  $1/(2T_{lor})$ ) имеют вид:

$$A^{(0)}(t) = \frac{1}{1 + (t/T_{lor})^2}, \quad (16)$$

$$A_{\Omega}^{(0)}(\Omega) = (T_{lor}/2) \exp(-|\Omega|T_{lor}), \quad (17)$$

$$I_{\Omega}^{(0)}(\Omega) = (T_{lor}/2)^2 \exp(-2|\Omega|T_{lor}). \quad (18)$$

Волновое число среды в слабостолкновительной плазме с эффективной частотой столкновений  $\nu$   $k(\omega) = k_r(\omega) + ik_i(\omega)$ , где:

$$\tilde{k}_r(\tilde{\omega}) = (\tilde{\omega}^2 - 1)^{1/2}, \quad \tilde{k}_i(\tilde{\omega}) = (\tilde{\nu}/2)\tilde{\omega}^{-1}(\tilde{\omega}^2 - 1)^{-1/2}. \quad (19)$$

В (19) и ниже мы иногда используем безразмерные величины  $\tilde{k} = k/k_p$ ,  $\tilde{\omega} = \omega/\omega_p$ ,  $\tilde{\nu} = \nu/\omega_p$ ,  $\tilde{z} = k_p z$ ,  $\tilde{t} = \omega_p t$ ,  $\tilde{A} = A$ ,  $\tilde{I} = I$ ,  $\tilde{A}_{\Omega} = A_{\Omega}\omega_p$ ,  $\tilde{I}_{\Omega} = I_{\Omega}\omega_p^2$  и т.п..

В соответствии с (10), (18), (19) для искаженной поглощением на трассе интенсивности спектра сигнала имеем:

$$I_{\Omega}(\omega, z) = (T_{lor} / 2)^2 \exp\left(-2|\omega - \omega_1|T_{lor} - \nu \tilde{z} \omega^{-1}(\tilde{\omega}^2 - 1)^{-1/2}\right). \quad (20)$$

Ясно, что характер сигнала в данной точке трассы  $z$  существенно зависит от функции (20) – именно максимумом этой функции по частоте в точке  $z$  определяется несущая частота сигнала в этой точке, а ее шириной – степень его узкополосности или, напротив, неузкополосности в этой точке.

В непоглощающей среде ( $\nu = 0$ ) при любой протяженности трассы  $z$  спектр сигнала одинаков. Он имеет характерную остроконечную форму (см. рис. 1a1), с максимумом при  $\omega = \omega_1$ , ширина спектра равна  $1/(2T_{lor})$ ; при выполнении условия  $1/(2T_{lor}) \ll (\omega_1 - \omega_p)$  сигнал является узкополосным для данной среды и во всей асимптотической зоне для него можно пользоваться вторым порядком классической теории дисперсии.

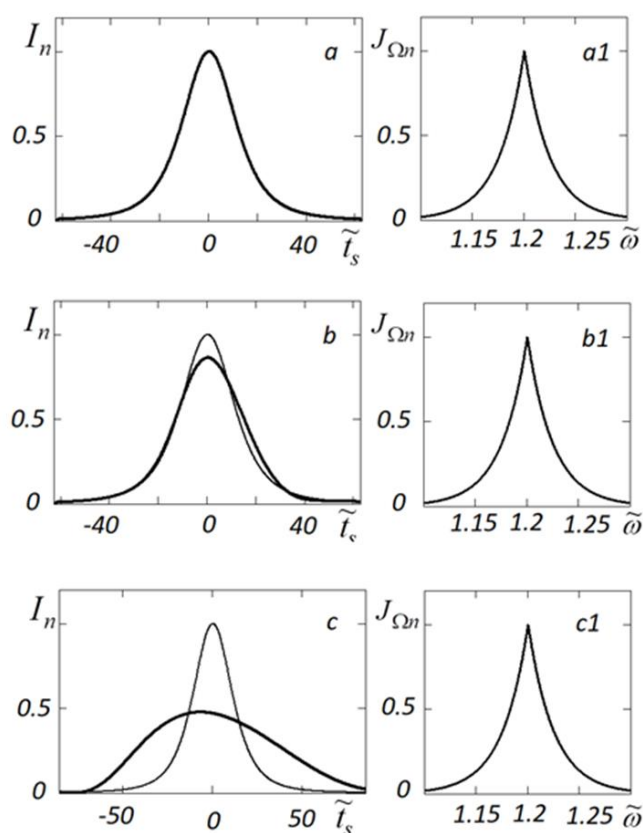


Рис. 1. Ближняя и промежуточная зоны голономного сигнала с неограниченным спектром. Случай  $z_2 \ll z_{abs}$

В поглощающей же среде за счет преимущественного поглощения при низких частотах происходит «сжатие» левой половины спектра при одновременном «расширении» его правой половины (см. рис. 1, 2, 3 a1-c1). Впрочем, при достаточно малых протяженностях трассы (рис. 1, 2 a1-c1) ситуация качественно не меняется, несмотря на деформацию спектра сигнала, максимум его спектра по-прежнему расположен при  $\omega = \omega_1$  и потому частота несущей стабильна и равна  $\omega_1$ . В этой области, несмотря на существенность затухания сигнала, дисперсия этого затухания несущественна и потому деформация временной зависимости сигнала с ростом протяженности трассы происходит почти так же, как и при отсутствии поглощения – ближняя зона (рис. 1a,b), в которой временная зависимость стабильна, затем – промежуточная (рис. 1c), в которой происходит перестройка временной зависимости и затем – асимптотическая зона (рис. 2a,b,c), в которой временная зависимость интенсивности совпадает с интенсивностью спектра сигнала в данной точке (рис. 2a1,b1,c1). Единственное отличие по сравнению со случаем отсутствия поглощения – некоторая деформация интенсивности временной зависимости сигнала с ростом протяженности трассы, соответствующая деформации интенсивности его спектра в результате дисперсии поглощения.

Ситуация качественно меняется при достижении длиной трассы «порогового» значения:

$$\tilde{z}_{ov} = (2\tilde{T}_{lor}/\tilde{\nu})\tilde{\omega}_1^2(\tilde{\omega}_1^2 - 1)^{3/2}(2\tilde{\omega}_1^2 - 1)^{-1}. \quad (21)$$

Именно при этой длине трассы  $\tilde{z} = \tilde{z}_{ov} \approx \tilde{z}_{abs}$  для сигнала (16) одновременно происходит два события. Во-первых, при  $\tilde{z} = \tilde{z}_{ov}$  частота  $\omega_1$  перестает быть точкой максимума спектра; во-вторых, нарушается условие (12). На самом деле это не два разных события, а два альтернативных описания одного и того же события – сигнал под влиянием дисперсии поглощения качественно перестраивается и теряет свой первоначальный характер.

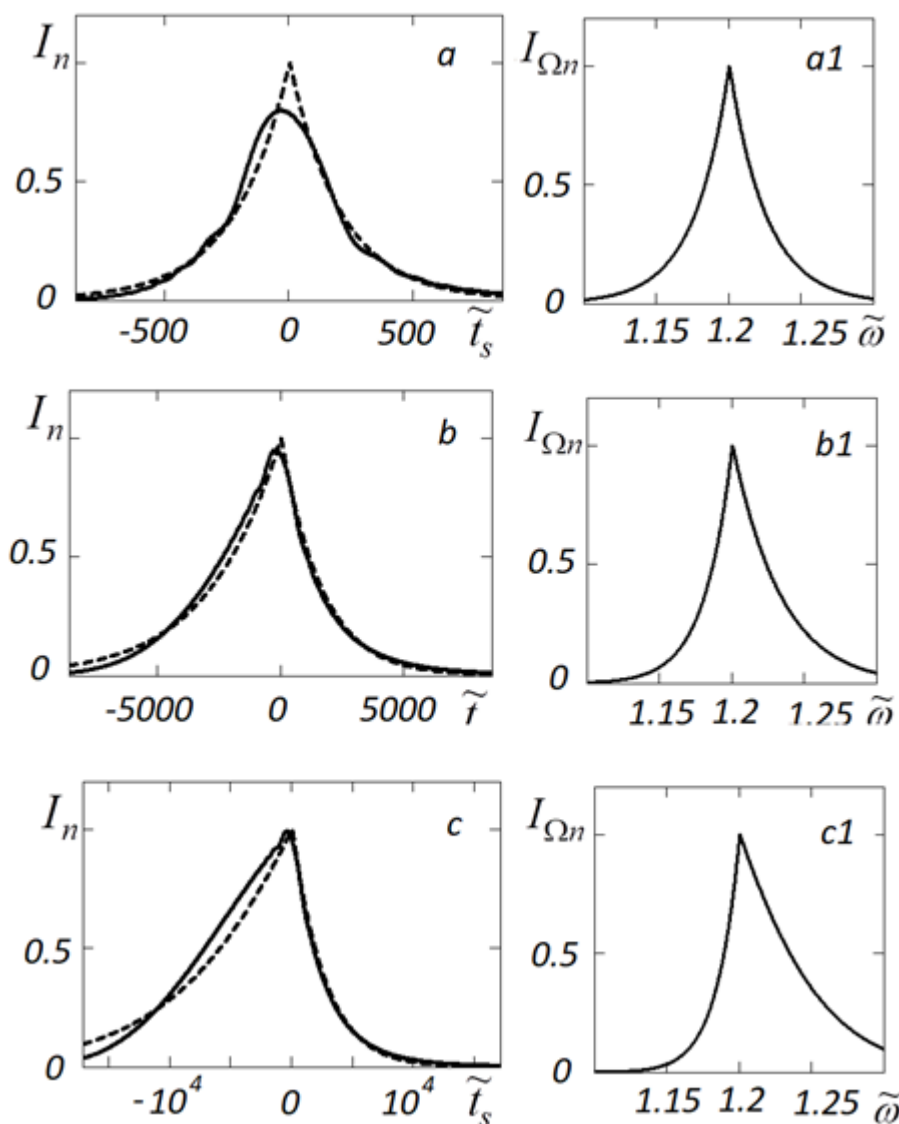


Рис. 2. Асимптотическая зона голономного сигнала с неограниченным спектром. Случай  $z_2 \ll z_{abs}$

Нетрудно проверить, что при  $\tilde{z} > \tilde{z}_{ov}$  максимум спектра достигается при частоте  $\tilde{\omega}_0(\tilde{z}) > \tilde{\omega}_1$ , определяемой при решении уравнения:

$$\tilde{z} = (2\tilde{T}_{lor}/\tilde{v})\tilde{\omega}_0^2(\tilde{\omega}_0^2 - 1)^{3/2}(2\tilde{\omega}_0^2 - 1)^{-1} \quad (22)$$

относительно  $\tilde{\omega}_0$ . Именно частота  $\tilde{\omega}_0(\tilde{z})$  при протяженностях трассы  $\tilde{z} > \tilde{z}_{ov}$  становится несущей частотой сигнала.

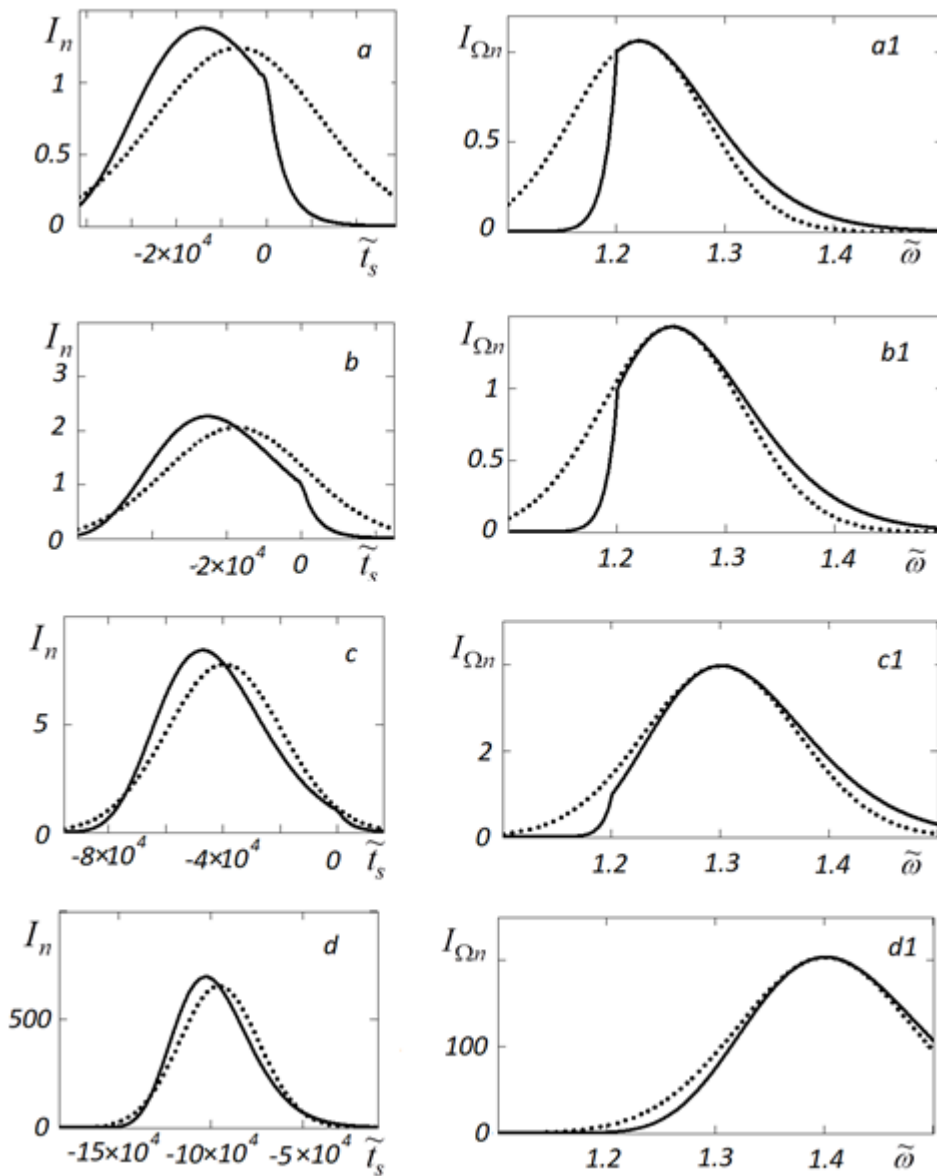


Рис. 3. Зона дисперсии поглощения голономного сигнала с неограниченным спектром. Случай  $z_2 \ll z_{abs}$

К сожалению, точно разрешить (22) относительно частоты  $\tilde{\omega}_0(\tilde{z})$  в общем случае не удастся, поэтому ниже многие параметры сигнала в «зоне поглощения» выражены не непосредственно через протяженность трассы, а через «локальную» несущую частоту  $\tilde{\omega}_0(\tilde{z})$ , являющуюся монотонно растущей функцией протяженности трассы  $\tilde{z}$ , изменяющейся от  $\tilde{\omega}_0(\tilde{z}_{ov}) = \tilde{\omega}_1$  при  $\tilde{z} = \tilde{z}_{ov}$  до  $\tilde{\omega}_0(+\infty) = +\infty$  при  $\tilde{z} = +\infty$ . Асимптотическая (при  $\tilde{z} \gg \tilde{z}_{ov}$ ) формула для  $\tilde{\omega}_0(\tilde{z})$  имеет вид:

$$\tilde{\omega}_0(\tilde{z}) = \left( \frac{\tilde{\nu}\tilde{z}}{\tilde{T}_{lor}} \right)^{1/3} \left[ 1 + \frac{1}{3} \left( \frac{\tilde{\nu}\tilde{z}}{\tilde{T}_{lor}} \right)^{-2/3} + \frac{1}{24} \left( \frac{\tilde{\nu}\tilde{z}}{\tilde{T}_{lor}} \right)^{-4/3} + O \left( \left( \frac{\tilde{\nu}\tilde{z}}{\tilde{T}_{lor}} \right)^{-2} \right) \right]. \quad (23)$$

Видно, что с ростом протяженности трассы, несущая частота сигнала увеличивается и в пределе  $\tilde{z} \gg \tilde{z}_{ov}$  стремится к бесконечности.

Для полуширины спектра сигнала  $\Delta\tilde{\omega}(z) = (-2I_{\Omega}(\tilde{\omega}_0, z) / I_{\Omega}''(\tilde{\omega}_0, z))^{1/2}$  за «точкой переворота» имеем:

$$\Delta\omega(z) = \omega_0 \left( \frac{2}{\omega_0 T_{lor}} \frac{(\tilde{\omega}_0^2 - 1)(\tilde{\omega}_0^2 - 1/2)}{6\tilde{\omega}_0^4 - 5\tilde{\omega}_0^2 + 2} \right)^{1/2}. \quad (24)$$

Видно, что исходно узкополосный ( $\omega_1 T_{lor} \gg 1$ ) сигнал всюду за «точкой переворота» остается узкополосным ( $\Delta\omega \ll \omega_0$ ), несмотря на изменение несущей частоты. Более того, нетрудно показать, что при удалении точки наблюдения от точки переворота быстро происходит нормализация сигнала – его эффективный спектр  $I_{\Omega}(\omega, z)$  по форме неограниченно приближается к функции гаусса (см. рис. 3 a1-d1):

$$I_{\Omega}(\omega, z) = I_{\Omega\max}(z) \exp\left(-\frac{(\omega - \omega_0(z))^2}{\Delta\omega^2}\right), \quad (25)$$

где полуширина спектра  $\Delta\omega$  определяется формулой (24), несущая частота – формулой (18), а максимум спектра:

$$I_{\Omega\max}(\tilde{z}) = (T_{lor}/2)^2 \exp(2T_{lor}\omega_1 - 3T_{lor}\omega_0(\tilde{\omega}_0^2 - 2/3)(\tilde{\omega}_0^2 - 1/2)^{-1}). \quad (26)$$

В результате (в соответствии с (9)) и временная зависимость сигнала за точкой переворота быстро становится гауссовой (см. рис. 1 a1-d1):

$$I(z, t) = I_{\max}(z) \exp\left(-2t_s^2(z) / T_g^2(z)\right), \quad (27)$$

где

$$I_{\max}(z) = \frac{\pi T_{lor} \nu (\tilde{\omega}_0^2 - 1/2)}{2\tilde{\omega}_0^2} \exp\left(2T_{lor}\omega_1 - 3T_{lor} \frac{\omega_0(\tilde{\omega}_0^2 - 2/3)}{(\tilde{\omega}_0^2 - 1/2)}\right), \quad (28)$$

$$\tilde{T}_g^2(z) = \frac{4\tilde{T}_{lor}}{\tilde{v}^2} \frac{\tilde{\omega}_0^5(\tilde{\omega}_0^2 - 1)}{(\tilde{\omega}_0^2 - 1/2)(6\tilde{\omega}_0^4 - 5\tilde{\omega}_0^2 + 2)}, \quad (29)$$

$$t_s(z) = t - k'_r(\omega_0)z = t - \tilde{\omega}_0 z / (c(\tilde{\omega}_0^2 - 1)^{1/2}). \quad (30)$$

Для базы сигнала за «точкой переворота» имеем

$$B(z) = \frac{2}{\tilde{v}} \frac{\tilde{\omega}_0^3(\tilde{\omega}_0^2 - 1)}{(6\tilde{\omega}_0^4 - 5\tilde{\omega}_0^2 + 2)} \gg 1, \text{ то есть сигнал является шумоподобным в}$$

радиотехническом смысле и (что в данном случае одно и то же) «зона дисперсии поглощения» для голономных сигналов с неограниченным спектром является асимптотической зоной.

С использованием асимптотики (23) для зависимости текущей несущей частоты от протяженности трассы формулы (28) – (30) можно переписать как

$$I_{\max}(z) = \frac{\pi\tilde{T}_{lor}\nu}{2} \exp(2\tilde{T}_{lor}\omega_1) \times \\ \times \exp \left[ -3\tilde{T}_{lor} \left( \frac{\tilde{v}z}{\tilde{T}_{lor}} \right)^{1/3} \left( 1 + \frac{1}{6} \left( \frac{\tilde{v}z}{\tilde{T}_{lor}} \right)^{-2/3} + \frac{1}{72} \left( \frac{\tilde{v}z}{\tilde{T}_{lor}} \right)^{-4/3} + O \left( \left( \frac{\tilde{v}z}{\tilde{T}_{lor}} \right)^{-2} \right) \right) \right], \quad (31)$$

$$\tilde{T}_g^2(z) = \frac{2\tilde{T}_{lor}}{3\tilde{v}^2} \left( \frac{\tilde{v}z}{\tilde{T}_{lor}} \right)^{1/3} \left[ 1 + O \left( \left( \frac{\tilde{v}z}{\tilde{T}_{lor}} \right)^{-2/3} \right) \right], \quad (32)$$

$$t_s(z) = t - t_{gr}(z) = t - z/v_{gr}(z), \quad (33)$$

$$t_{gr}(z) = (z/c) \left[ 1 + \frac{1}{2} \left( \frac{\tilde{v}z}{\tilde{T}_{lor}} \right)^{-2/3} + \frac{1}{24} \left( \frac{\tilde{v}z}{\tilde{T}_{lor}} \right)^{-4/3} + O \left( \left( \frac{\tilde{v}z}{\tilde{T}_{lor}} \right)^{-2} \right) \right], \quad (34)$$

$$v_{gr}(z) = c \left( 1 - \frac{1}{2} \left( \frac{\tilde{v}z}{\tilde{T}_{lor}} \right)^{-2/3} + \frac{5}{24} \left( \frac{\tilde{v}z}{\tilde{T}_{lor}} \right)^{-4/3} + O \left( \left( \frac{\tilde{v}z}{\tilde{T}_{lor}} \right)^{-2} \right) \right). \quad (35)$$

Из формул (31) – (35) можно сделать следующие выводы для голономных сигналов с неограниченным спектром:

- 1) За «точкой перевертывания спектра» сигнал нормализуется, то есть его временная зависимость приближается к функции Гаусса, причем это происходит независимо от того, в ближней, дальней или промежуточной зонах находится «точка перевертывания».
- 2) За «точкой перевертывания» сигнал продолжает быстро (по закону типа  $\exp(-z^{1/3})$ ) затухать. Тем не менее скорость затухания оказывается существенно снижена по сравнению с «до перевертывания» (по закону типа  $\exp(-z)$ ). Это связано с «миграцией» несущей частоты сигнала в область меньшего поглощения.
- 3) За «точкой перевертывания» продолжительность сигнала продолжает расти, но очень медленно – по закону  $\tilde{T}_g(z) \sim z^{1/6}$ .
- 4) За «точкой перевертывания» групповая скорость сигнала с ростом протяженности трассы стремится к скорости света в вакууме. Тем не менее, время запаздывания сигнала не стремится к вакуумному. Более того, величина дополнительного (в сравнении с «вакуумной» задержкой) времени запаздывания сигнала неограниченно (по закону  $t_{gr}(z) - z/c \sim z^{1/3}$ ) нарастает.

Резюмируя, можно констатировать, что голономные сигналы с неограниченным спектром не имеют предвестников как таковых, в любой поглощающей среде с ростом протяженности трассы бесследно (по «быстрому», то есть экспоненциальному закону) затухают и в стадии сильного затухания становятся гауссовыми сигналами. Можно показать, что основные качественные выводы, сделанные в данном пункте (в том числе и вывод о «нормализации» сигнала с ростом протяженности трассы), сохраняются и для более широкого класса голономных сигналов с неограниченным спектром (15).

В качестве иллюстрации на рис. 1–5 приведены результаты расчетов распространения колоколообразного сигнала (16) в среде (19). На этих рисунках стартовая продолжительность  $\tilde{T}_{lor} = 20$  ( $T_{lor} = 20\omega_p^{-1}$ ), несущая частота



$\tilde{\omega}_1 = 1.2$  ( $\omega_1 = 1.2\omega_p$ ), но на рис. 1–3 приведены результаты расчетов для случая достаточно слабо поглощающей среды ( $\nu/\omega_p = 0.0001$ ,  $z_2 \ll z_{abs}$ ), а на рис. 4,5 – для среды с заметным поглощением ( $\nu/\omega_p = 0.1$ ,  $z_2 \gg z_{abs}$ ).

На рис. 1–3 приведены графики временной зависимости интенсивности сигнала (1а-с, 2а-с, 3а-д) и интенсивности его частотного спектра (1а1-с1, 2 а1-с1, 3а1-д1) в различных точках трассы  $\tilde{z} = (\omega_p/c)z = 0$  (рис. 1а),  $\tilde{z} = 25$  (рис. 1б),  $\tilde{z} = 250$  (рис. 1с),  $\tilde{z} = 2500$  (рис. 2а),  $\tilde{z} = 25000$  (рис. 2б),  $\tilde{z} = 50000$  (рис. 2с),  $\tilde{z} = 1.028 \times 10^5$  ( $\tilde{\omega}_0 = \omega_0/\omega_p = 1.22$ ) (рис. 3а),  $\tilde{z} = 1.241 \times 10^5$  ( $\tilde{\omega}_0 = \omega_0/\omega_p = 1.25$ ) (рис. 3б),  $\tilde{z} = 1.628 \times 10^5$  ( $\tilde{\omega}_0 = \omega_0/\omega_p = 1.3$ ) (рис. 3с),  $\tilde{z} = 2.525 \times 10^5$  ( $\tilde{\omega}_0 = \omega_0/\omega_p = 1.4$ ) (рис. 3д). По горизонтальной оси на графиках рис. 1а-с, 2а-с, 3а-д отложено безразмерное время  $\tilde{t}_s = t_s\omega_p$  с учетом группового сдвига на исходной частоте несущей  $\omega_1$  (б)  $t_s(z) = t - k'_r(\omega_1)z$ . До «зоны дисперсии поглощения» (рис. 1, 2 а-с) сигнал распространяется действительно именно с этой групповой скоростью, поэтому его максимум соответствует «сдвинутому» времени  $\tilde{t}_s = 0$ . В «зоне дисперсии поглощения» (рис. 3а-д) начинается дрейф несущей в сторону высоких частот, и сигнал в точке наблюдения появляется раньше – в соответствии с временем группового запаздывания на частоте  $\omega_0(z) > \omega_1$  (26). Именно поэтому в зоне дисперсии поглощения максимум сигнала достигается при  $\tilde{t}_s < 0$ . По вертикальной оси на рис. 1, 2, 3 а-с(д) отложена интенсивность сигнала, нормированная на «теоретический» максимум интенсивности в данной точке трассы  $I_n(t) = I(t)/I_{max}$ . В качестве «теоретического» максимума во всех зонах использовался предложенный в [4] (уравнение (19)) теоретический максимум сигнала с учетом его дисперсионного расплывания и экспоненциального поглощения сигнала на исходной частоте несущей  $\omega_1$ :  $I_{max} = 1$  (1а),

$I_{\max} = 0.997$  (1b),  $I_{\max} = 0.711$  (1c),  $I_{\max} = 0.054$  (2a),  $I_{\max} = 3.173 \times 10^{-4}$  (2b),  $I_{\max} = 6.861 \times 10^{-6}$  (2c),  $I_{\max} = 3.393 \times 10^{-9}$  (3a),  $I_{\max} = 2.511 \times 10^{-10}$  (3b),  $I_{\max} = 1.477 \times 10^{-12}$  (3c),  $I_{\max} = 1.208 \times 10^{-17}$  (3d). По вертикальной оси

на рис. 1, 2, 3 a1-c1(d1) отложена интенсивность спектра сигнала, нормированная на значение интенсивности спектра на частоте несущей в данной точке трассы

$$I_{\Omega n} = I_{\Omega}(\omega, z) / \left( (T_{lor} / 2)^2 \exp \left( -v\tilde{z} \omega^{-1} (\tilde{\omega}^2 - 1)^{-1/2} \right) \right) \text{ (в соответствии с (20)).}$$

Нетрудно заметить, что вне зоны дисперсии поглощения (рис. 1, 2 а-с) максимальное значение как нормированной интенсивности сигнала, так и его нормированной интенсивности спектра, практически равно 1. В области же дисперсии поглощения (рис. 3 а-d) наблюдается настолько заметное превышение «ожидаемых» максимумов, что это даже вынудило нас изменить масштаб графиков. Очевидно, это связано с миграцией реальной частоты несущей в сторону высоких частот и меньших коэффициентов поглощения за счет дисперсии поглощения – истинное поглощение сигнала огромно, но, все же, оно существенно меньше ожидаемого на исходной частоте несущей. Так, например, «ожидаемый» фактор ослабления сигнала на рис. 3d равен примерно  $10^{-17}$ , а настоящий – «всего»  $10^{-14}$ . Толстой сплошной линией на всех графиках показаны результаты численных расчетов. Тонкой сплошной линией на рис. 1а-с показаны результаты приближения групповой задержки (13), штриховой линией на рис. 2 а-с – результаты метода стационарной фазы (9), пунктирной линией на рис 3 а-d – результаты «гауссова» приближения для интенсивности сигнала (27) – (30), пунктирной линией на рис. 3 а1-d1 – результаты «гауссова» приближения для интенсивности спектра сигнала (23) – (26).

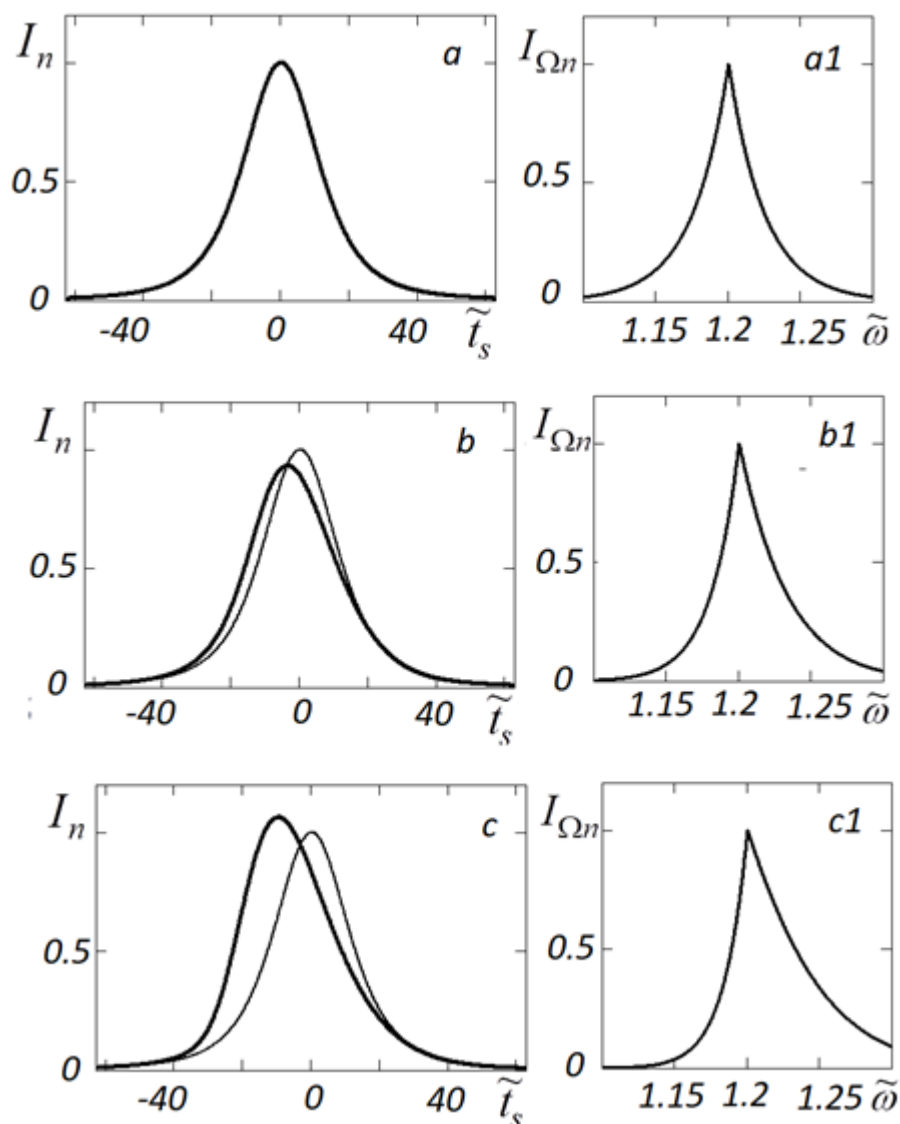


Рис. 4. Ближняя зона голономного сигнала с неограниченным спектром. Случай  $z_2 \gg z_{abs}$

Обозначения на рис. 4-5 совпадают с обозначениями рис. 1-3. Приведены графики временной зависимости интенсивности сигнала (рис. 4 а-с, рис. 5 а-d) и интенсивности его частотного спектра (рис. 4 а1-с1, рис. 5 а1-d1) в различных точках трассы –  $\tilde{z} = (\omega_p / c)z = 0$  (рис. 4а,а1),  $\tilde{z} = 25$  (рис. 4б,б1),  $\tilde{z} = 50$  (рис. 4с,с1),  $\tilde{z} = 102.8$  ( $\tilde{\omega}_0 = \omega_0 / \omega_p = 1.22$ ) (рис. 5а,а1),  $\tilde{z} = 124.1$  ( $\tilde{\omega}_0 = \omega_0 / \omega_p = 1.25$ ) (рис. 5б,б1),  $\tilde{z} = 162.8$  ( $\tilde{\omega}_0 = \omega_0 / \omega_p = 1.3$ ) (рис. 5с,с1),  $\tilde{z} = 252.5$  ( $\tilde{\omega}_0 = \omega_0 / \omega_p = 1.4$ ) (рис. 5д,д1). Значения нормировочных констант для интенсивности сигнала в различных точках трассы  $I_{max} = 1$

(рис. 4а),  $I_{\max} = 0.046$  (рис. 4б),  $I_{\max} = 2.104 \times 10^{-3}$  (рис. 4с),  
 $I_{\max} = 3.137 \times 10^{-6}$  (рис. 5а),  $I_{\max} = 2.275 \times 10^{-7}$  (рис. 5б),  
 $I_{\max} = 1.925 \times 10^{-9}$  (рис. 5с),  $I_{\max} = 2.19 \times 10^{-14}$  (рис. 5д).

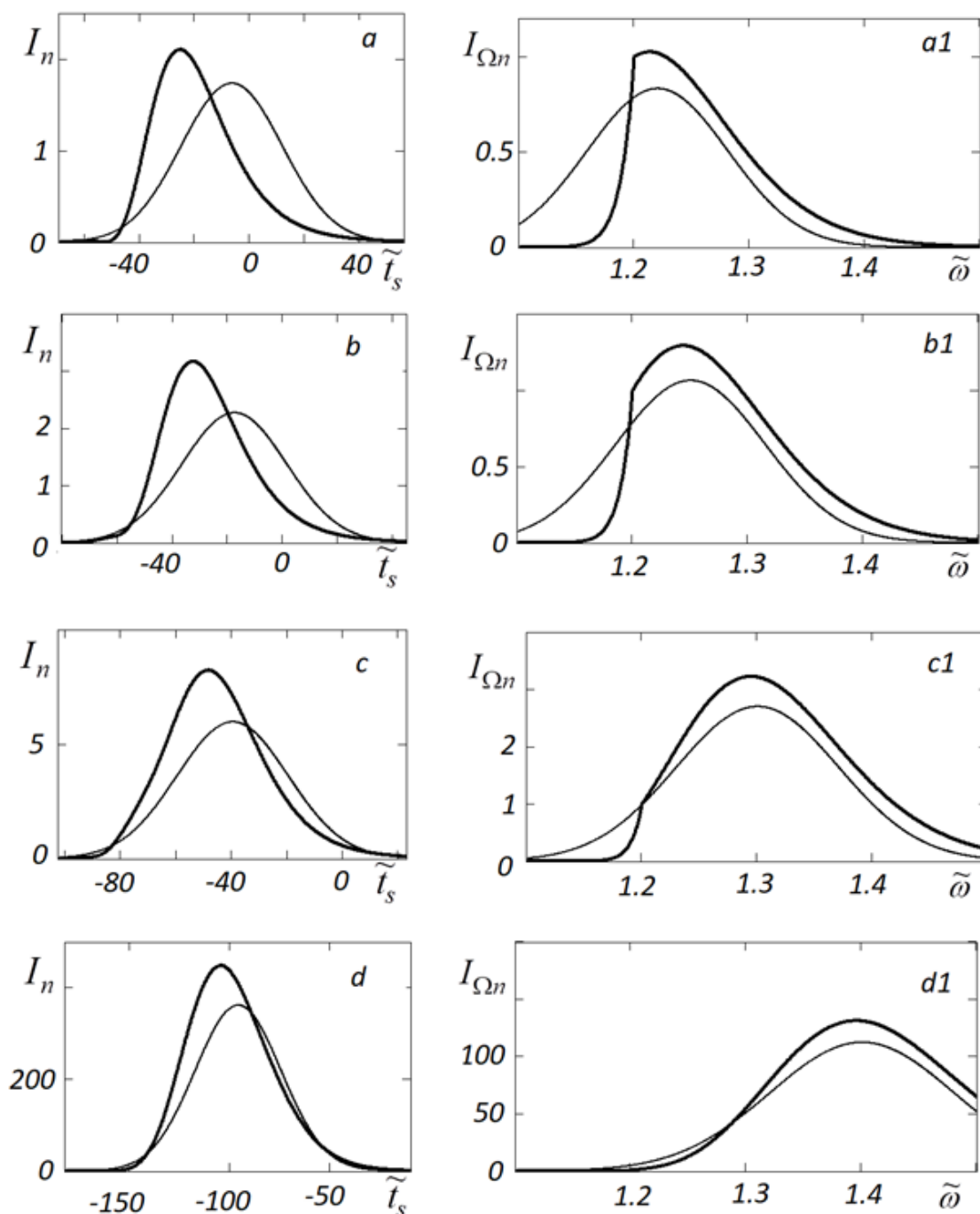


Рис. 5. Зона дисперсии поглощения голономного сигнала с неограниченным спектром. Случай  $z_2 \gg z_{abs}$

В случае, показанном на рис. 1-3, граница между ближней и асимптотической зоной проходит при  $|\tilde{z}_2| = 934$ , а расстояние «переворачивания» спектра равно  $\tilde{z}_{ov} = 8.94 \times 10^4 \gg |\tilde{z}_2|$ . Поэтому с ростом протяженности трассы мы последовательно наблюдаем сначала ближнюю зону  $\tilde{z} \ll \tilde{z}_2$  (рис. 1 а, б), в которой сигнал распространяется с экспоненциальным затуханием на частоте несущей, но без существенной деформации временной зависимости, затем – промежуточную зону, в которой происходит перестройка временной зависимости сигнала (рис. 1с), затем – асимптотическую зону,  $\tilde{z}_2 \ll \tilde{z} \ll \tilde{z}_{ov}$  (рис. 2а,б,с), в которой временная зависимость интенсивности сигнала совпадает с частотной зависимостью интенсивности его искаженного дисперсией поглощения спектра (ср. рис. 2а и 2а1, 2б и 2б1, 2с и 2с1), и лишь затем (при  $\tilde{z} \gg \tilde{z}_{ov}$ ) происходит «нормализация» сигнала и его частотный спектр вместе с временной зависимостью стремится к функции Гаусса (рис. 2а-д, 3а1-д1).

В случае, показанном на рис. 4,5, при том же стартовом сигнале за счет большего в 1000 раз поглощения, расстояние «переворачивания» спектра оказывается в 1000 раз меньше, чем на рис. 1:  $\tilde{z}_{ov} = 89.4 \ll |\tilde{z}_2| = 934$ . Поэтому сразу за ближней зоной (рис. 4а-с) начинается зона дисперсии поглощения с нормализацией сигнала и его спектра (рис. 5а-д). Переход от ближней зоны к асимптотической в этом случае происходит в пределах зоны дисперсии поглощения и потому внешне никак не проявляется (фурье-образ гауссовой функции – гауссова функция).

### 3. Голономные сигналы с ограниченным спектром

В качестве конкретного примера голономного сигнала с ограниченным спектром рассмотрим распространение sinc-сигнала с несущей частотой  $\omega_1$  и характерной длительностью  $T_{sinc}$  в слабостолкновительной плазме с

плазменной частотой  $\omega_p$  и эффективной частотой столкновений  $\nu$ . В этом случае комплексная огибающая, спектр сигнала и интенсивность его прямоугольного в стартовой точке спектра имеют вид:

$$A^{(0)}(t) = \sin(t/T_{sinc})/(t/T_{sinc}), \quad (36)$$

$$A_{\Omega}^{(0)}(\Omega) = \begin{cases} T_{sinc}/2, & |\Omega T_{sinc}| \leq 1 \\ 0, & |\Omega T_{sinc}| > 1 \end{cases}, \quad (37)$$

$$I_{\Omega}^{(0)}(\Omega) = \begin{cases} T_{sinc}^2/4, & |\Omega T_{sinc}| \leq 1 \\ 0, & |\Omega T_{sinc}| > 1 \end{cases}, \quad (38)$$

где  $\Omega = \omega - \omega_1$ . В соответствии с (19) для искаженной поглощением на трассе интенсивности исходного спектра сигнала имеем:

$$I_{\Omega}(\tilde{\omega}, \tilde{z}) = \begin{cases} (T_{sinc}/2)^2 \exp\left(-\tilde{\nu} \tilde{z} \tilde{\omega}^{-1} (\tilde{\omega}^2 - 1)^{-1/2}\right), & |\Omega T_{sinc}| \leq 1 \\ 0, & |\Omega T_{sinc}| > 1 \end{cases}. \quad (39)$$

Нетрудно заметить (см. рис 6a1-c1, 7a1-d1), что исходно прямоугольный спектр сигнала с ростом протяженности трассы сужается и сдвигается к своей правой границе  $\omega_0 = \omega_1 + 1/T_{sinc}$ , стремясь при  $\tilde{z} \gg \tilde{z}_{abs1} = \tilde{T}_{sinc}/(-k'_i(\omega_0)) \approx \tilde{z}_{abs}$  к предельной форме:

$$I_{\Omega}(\tilde{\omega}, \tilde{z}) = \begin{cases} (T_{sinc}/2)^2 \exp(-2k_i(\omega_0)z - 2k'_i(\omega_0)z(\omega - \omega_0)), & \omega \leq \omega_0 \\ 0, & \omega > \omega_0 \end{cases} \quad (40)$$

Очевидно, в зоне дисперсии поглощения  $\tilde{z} \gg \tilde{z}_{abs1}$  происходит сужение спектра сигнала  $\Omega_{sig}$  по гиперболическому закону ( $\Omega_{sig} \sim 1/z$ ). Несущей частотой сигнала становится максимальная присутствующая в его спектре частота  $\omega_0 = \omega_1 + 1/T_{sinc}$ , значение которой от протяженности трассы (в отличие от голономного сигнала с неограниченным спектром) не зависит.

Это сужение спектра приводит к любопытному эффекту – при достаточной протяженности трассы (конкретно – при условии  $z \gg z_{2sec}$ ), где

$$z_{2sec} = k_r'' / (2(k_i')^2) = (\tilde{\omega}^4 (\tilde{\omega}^2 - 1)^{3/2}) / (2k_p \tilde{\nu}^2 (\tilde{\omega}^2 - 1/2)^2) \quad (41)$$

условие асимптотической зоны ( $z \gg z_2 = 2/(k_r''(\omega_1)\Omega_{sig}^2)$ ) неизбежно нарушается и заменяется на противоположное ему условие ближней зоны  $z \ll z_2$ . Поэтому, в случае голономных сигналов с ограниченным спектром асимптотическая зона ограничена не только со стороны малых, но и со стороны больших протяженностей трассы – она существует лишь в интервале  $z_2 \ll z \ll z_{2sec}$ ; при  $z \ll z_2$  и  $z \gg z_{2sec}$  сигнал распространяется в ближней зоне и его распространение может описываться в приближении группового времени задержки (при  $z \gg z_{2sec}$  – комплексного группового времени задержки [5], разумеется). Это позволяет записать во «второй» ближней зоне (при  $z \gg z_{2sec}$ ) для временной зависимости интенсивности произвольного голономного сигнала с ограниченным спектром асимптотическую формулу:

$$I(z, t) = \frac{I_{max}(z)}{1 + (t_s(z)/T_{as}(z))^2}, \quad (42)$$

где

$$I_{max}(z) = \frac{|\Delta A_{\Omega}^{(0)}|^2}{T_{as}^2(z)} \exp(-2k_i(\omega_0)z), \quad (43)$$

$$T_{as}(z) = -k_i'(\omega_0)z, \quad (44)$$

$$t_s(z) = t - k_r'(\omega_0)z = t - \tilde{\omega}_0 z / (c(\tilde{\omega}_0^2 - 1)^{1/2}). \quad (45)$$

В (43)  $\Delta A_{\Omega}^{(0)}$  – скачок спектра сигнала на его правой границе (в случае сигнала (37)  $\Delta A_{\Omega}^{(0)} = T_{sinc} / 2$ ). Как уже отмечалось, максимальная (по времени) интенсивность сигнала в данной точке трассы  $\tilde{I}_{max}(z)$  снижается по экспоненциальному закону, соответствующему крайней частоте исходного спектра сигнала  $\omega_0$ , его длительность  $T_{as}(z)$  растет по линейному закону. База

сигнала при  $z \gg z_{2sec}$  перестает изменяться и сохраняет значение порядка 1, то есть сигнал в этой области, в радиотехническом смысле [3], шумоподобным не является, что вполне естественно, коль скоро речь идет о ближней зоне, хотя бы и расположенной дальше асимптотической.

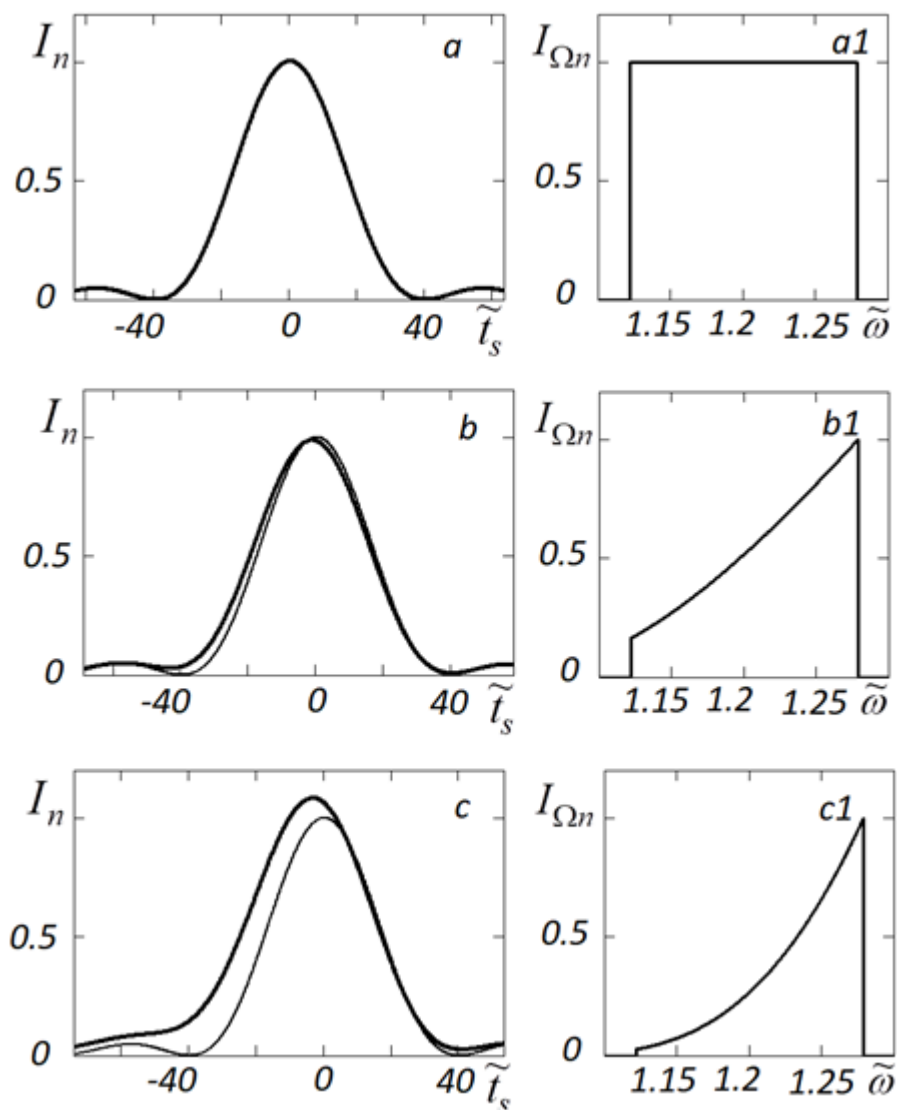


Рис. 6. Ближняя зона голономного сигнала с ограниченным спектром. Случай  $z_2 \gg z_{abs}$

Вообще, в случае голономных сигналов с ограниченным спектром, асимптотическая зона реализуется только при выполнении условия  $|z_2/z_{abs1}| = |2T_{sinc}k'_i/k''_r| \ll 1$ , то есть при достаточно слабом поглощении изначально достаточно короткого сигнала. При выполнении противоположного условия  $|z_2/z_{abs1}| = |2T_{sinc}k'_i/k''_r| \gg 1$ , сигнал при любой протяженности трассы



пребывает в ближней зоне и его распространение можно описывать в приближении групповой задержки (при  $z \geq z_{abs1}$  – комплексной групповой задержки). Асимптотическая зона в этом случае вообще не возникает, и потому временная зависимость сигнала нигде не совпадает ни со стартовой, ни с текущей интенсивностью его спектра. Именно этот случай изображен на рис. 6, 7, где показано распространение сигнала (37) при  $\tilde{T}_{sinc} = 12.73$ ,  $\tilde{\omega}_1 = 1.2$ ,  $\tilde{\nu} = 0.1$ .

Очевидно, асимптотические формулы (42) – (45) справедливы только в том случае, когда спектр сигнала на правой границе исчезает «скачком» (то есть имеет разрыв нулевого ранга по терминологии [6]). В случае скачка первого ранга (когда спектр на правой границе непрерывен, но рвется его первая производная (то есть  $A_{\Omega}^{(0)}(\Omega) = \alpha(\omega - \omega_0)$  при  $\omega \leq \omega_0$ ,  $A_{\Omega}^{(0)}(\Omega) = 0$  при  $\omega > \omega_0$ ) асимптотической формой временной зависимости сигнала будет, очевидно, не «лоренцева» функция (42), а функция типа

$I(z, t) = I_{\max} / \left( 1 + \left( t_s / T_{as} \right)^2 \right)^2$ , что, впрочем, качественно ситуацию не меняет.

Резюмируя, можно констатировать, что голономные сигналы с ограниченным спектром, как и голономные сигналы с неограниченным спектром, не имеют предвестников как таковых, в любой поглощающей среде с ростом протяженности трассы бесследно (еще быстрее, чем голономные сигналы с неограниченным спектром) затухают и в стадии сильного затухания становятся «лоренцевыми» сигналами с временной зависимостью типа (42).

В общем случае голономные сигналы с ограниченным спектром в зоне поглощения (при  $z \gg z_{abs1}$ ) имеют временную зависимость типа

$I(z, t) = I_{\max} / \left( 1 + \left( t_s / T_{as} \right)^2 \right)^{1+n}$ , где  $n$  – порядок корня спектра сигнала на границе его спектральной полосы.

На рис. 6,7 в качестве иллюстрации показано распространение сигнала с исходно sinc-образной огибающей (36) в плазме (19).

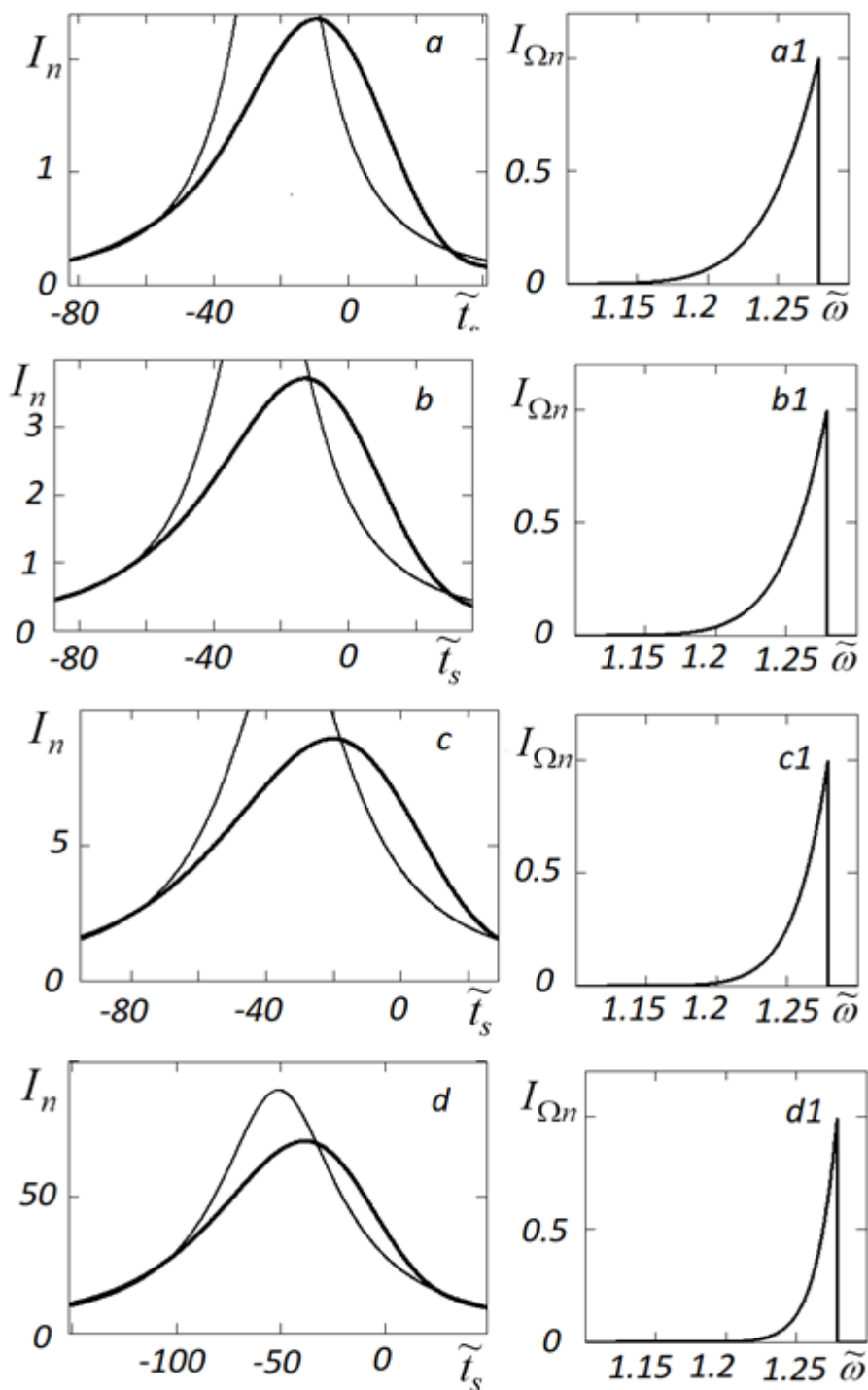


Рис. 7. Зона дисперсии поглощения голономного сигнала с ограниченным спектром. Случай  $z_2 \gg z_{abs}$

Стартовая продолжительность сигнала  $\tilde{T}_{sinc} = 12.73$  ( $T_{sinc} = 12.73\omega_p^{-1}$ ), несущая частота  $\tilde{\omega}_1 = 1.2$  ( $\omega_1 = 1.2\omega_p$ ), эффективная частота столкновений в

плазме  $\tilde{\nu} = 0.1$  ( $\nu/\omega_p = 0.1$ ). Приведены графики временной зависимости интенсивности сигнала (рис. 6а-с, 7а-d) и интенсивности его частотного спектра (рис. 6а1-с1, 7а1-d1) в различных точках трассы –  $\tilde{z} = (\omega_p/c)z = 0$  (рис. 6а,а1),  $\tilde{z} = 25$  (рис. 6б,б1),  $\tilde{z} = 50$  (рис. 6с,с1),  $\tilde{z} = 102.8$  (рис. 7а,а1),  $\tilde{z} = 124.1$  (рис. 7б,б1),  $\tilde{z} = 162.8$  (рис. 7с,с1),  $\tilde{z} = 252.5$  (рис. 7д,д1). Длины трассы выбраны так, чтобы облегчить сопоставление с аналогичными расчетами рис. 4,5 для голономного сигнала с неограниченным спектром. Тонкой сплошной линией на рис. 6а-с показаны результаты приближения вещественной групповой задержки (13), пунктирной линией на рис 7а-d – результаты «лоренцева» приближения для интенсивности сигнала (42) – (45). По горизонтальной оси на графиках отложено безразмерное время  $\tilde{t}_s = t_s \omega_p$  с учетом группового сдвига на исходной частоте несущей  $\omega_1$  ( $t_s(z) = t - k'_r(\omega_1)z$ ). До «зоны дисперсии поглощения» (рис. 6а-с) сигнал распространяется действительно с этой групповой скоростью, поэтому его максимум соответствует «сдвинутому» времени  $\tilde{t}_s = 0$ . В «зоне дисперсии поглощения» (рис. 7а-d) несущая практически совпадает с крайней частотой спектра  $\omega_0 > \omega_1$  и сигнал в точке наблюдения появляется раньше – в соответствии с временем группового запаздывания на частоте  $\omega_0 > \omega_1$ . Именно поэтому в зоне дисперсии поглощения максимум сигнала достигается при  $\tilde{t}_s < 0$ . По вертикальной оси на рис. 6а-с и 7а-d (как и на соответствующих графиках рис. 1 и 2) отложена интенсивность сигнала, нормированная на «теоретический» максимум интенсивности в данной точке трассы  $I_n(t) = I(t)/I_{\max}$ . В качестве «теоретического» максимума во всех зонах использовался предложенный в [4] (ф. (19)) теоретический максимум сигнала с учетом его дисперсионного расплывания и экспоненциального поглощения сигнала на исходной частоте несущей  $\omega_1$ :  $I_{\max} = 1$  (6а),  $I_{\max} = 0.046$  (6б),  $I_{\max} = 2.104 \times 10^{-3}$  (6с),  $I_{\max} = 2.208 \times 10^{-6}$  (7а),  $I_{\max} = 1.377 \times 10^{-7}$  (7б),  $I_{\max} = 8.558 \times 10^{-10}$  (7с),  $I_{\max} = 8.377 \times 10^{-15}$  (7д). Небольшое отличие приведенных нормировочных значений от случая рис. 4,5 связано с небольшим, но реальным отличием темпов

«ожидаемого» дисперсионного расплывания различных сигналов («лоренцева» в п.3 и «sinc» в п.4). По вертикальной оси на рис. 6a1-c1 и 7 a1-d1 отложена интенсивность спектра сигнала, нормированная на значение интенсивности спектра на частоте несущей в данной точке трассы

$$J_{\Omega n} = I_{\Omega}(\omega, z) / \left( (T_{lor} / 2)^2 \exp\left(-\sqrt{z} \omega^{-1} (\tilde{\omega}^2 - 1)^{-1/2}\right) \right) \text{ (в соответствии с (20)).}$$

Нетрудно заметить, что вне зоны дисперсии поглощения (рис. 6 а-с) максимальное значение как нормированной интенсивности сигнала, так и его нормированной интенсивности спектра, практически равно 1. В области же дисперсии поглощения (рис. 7 а-d) наблюдается заметное превышение «ожидаемых» максимумов, что даже вынудило нас изменить масштаб графиков. Очевидно, это (как и в случае голономных сигналов с неограниченным спектром, п.3) связано с миграцией реальной частоты несущей в сторону высоких частот и меньших коэффициентов поглощения за счет дисперсии поглощения. Тем не менее, сравнив рис. 5d и рис. 7d, нетрудно заметить, что «эффективность» миграции несущей частоты в случае голономных сигналов с ограниченным спектром все же заметно ниже, чем в случае голономных сигналов с неограниченным спектром.

## Заключение

- 1) При достаточной протяженности трассы в среде с дисперсией поглощения происходит миграция несущей частоты голономных сигналов в область более слабого поглощения. При этом изначально узкополосные сигналы продолжают оставаться узкополосными. В случае сигналов с ограниченным спектром эта миграция несущей ограничена исходной спектральной полосой сигнала. В случае голономных сигналов с неограниченным спектром частота несущей при неограниченном росте протяженности трассы неограниченно растет.
- 2) Миграция несущей приводит к снижению коэффициента поглощения сигнала по сравнению с коэффициентом поглощения соответствующей плоской волны

на исходной частоте несущей и к увеличению скорости распространения сигнала по сравнению с групповой скоростью на частоте несущей.

- 3) В области сильного поглощения происходит «стандартизация» временной зависимости интенсивности сигнала, причем любые голономные сигналы независимо от их исходной временной зависимости приобретают «колоколообразную» форму. Эта форма различна для двух типов голономных сигналов – сигналов с ограниченным и неограниченным спектром. Сигналы с неограниченным спектром при неограниченном возрастании длины трассы становятся гауссовыми, а сигналы с ограниченным спектром – «лоренцевыми», то есть имеют временную зависимость типа

$$I(z, t) = I_{\max} / \left( 1 + (t_s / T_{as})^2 \right)^{1+n}, \text{ где } n \text{ – порядок корня спектра сигнала на границе его спектральной полосы.}$$

- 4) С ростом протяженности трассы происходит неограниченное приближение скорости распространения голономных сигналов с неограниченным спектром к вакуумной скорости света. Тем не менее накопленное отставание таких сигналов от вакуумного света не только не исчезает, но даже неограниченно растет с ростом протяженности трассы, причем не только по абсолютной величине, но и в сравнении с длительностью сигнала. Для голономных сигналов с ограниченным спектром с ростом протяженности трассы скорость распространения приближается к групповой скорости на крайней частоте их спектра.
- 5) Голономные сигналы не имеют никаких фрагментов, которые можно было бы интерпретировать как предвестники. Очевидно, предвестники – это исключительный атрибут кусочно-голономных и только кусочно-голономных сигналов.

Благодарности: Авторы благодарны Е.А. Палкину и Г.М. Стрелкову за полезные замечания и советы.

## Литература

1. Виноградова М.Б., Руденко О.В., Сухоруков А.П. *Теория волн*. Москва, Наука. 1979. 384 с.
2. Вайнштейн Л.А. Распространение импульсов. *Успехи физ. наук*. 1976. Т.118. №2. С.339-367. <https://doi.org/10.3367/UFNr.0118.197602h.0339>
3. Варакин Л.Е. *Системы связи с шумоподобными сигналами*. Москва, Радио и Связь. 1985. 384 с.
4. Бухман Н.С., Куликова А.В. О временной зависимости узкополосного сигнала в диспергирующей среде вдали от точки излучения. *Журнал радиоэлектроники [электронный журнал]*. 2022. №12. <https://doi.org/10.30898/1684-1719.2022.12.14>
5. Бухман Н.С. О принципе причинности и сверхсветовых скоростях распространения сигналов. *Радиотехника и электроника*. 2021. Т.66. №3. С.209-225. <https://doi.org/10.31857/S0033849421030049>
6. Бухман Н.С. Об искажении переднего фронта сигнала без несущей. *Радиотехника и электроника*. 2016. Т.61. №12. С.1148-1158. <https://doi.org/10.7868/S0033849416120056>
7. Федорюк М.В. *Асимптотика: Интегралы и ряды*. Москва, Наука. 1987. 544 с.

### Для цитирования:

Бухман Н.С., Куликова А.В. О влиянии дисперсии поглощения на временную зависимость голономного узкополосного сигнала вдали от точки излучения. *Журнал радиоэлектроники [электронный журнал]*. 2023. № 2. <https://doi.org/10.30898/1684-1719.2023.2.5>